

粒径選別された気相生成 Ag ナノ粒子のコロイド化に関する研究

(中央大院・理工*, 中央大・理工**) ○橋本奈緒美*, 村山美乃**, 田中秀樹**

1. 緒言

気相蒸発法で生成された金属ナノ粒子は、電気移動度法や質量分析法などを用いることで、粒径を高精度に選別することができる。しかし、生成された金属ナノ粒子の表面がむき出しになっているため凝集しやすく扱いづらい。一方、コロイド合成法等によって液相中において生成された金属ナノ粒子は、条件を整えることによって安定な分散状態を得ることは出来る。しかし一般的には粒径の高精度制御は難しい。こうした観点から、我々はこれまで、主として粒径選別されていない気相生成 Ag ナノ粒子をポリビニルピロリドン (PVP) 水溶液中に捕獲できるかどうかについて検討を行ってきた。そこで本研究では、これを発展させて粒径選別された Ag ナノ粒子を PVP 水溶液中に捕獲できるかどうかについて検討を行った。また、PVP 分子量依存性についての検討も行った。

2. 実験方法

N_2 気体流中、大気圧下において、粒状 Ag を 1100 °C で蒸気化させ、自然放冷させることによってナノ粒子を生成した。生成した Ag ナノ粒子を ^{241}Am に通してイオン化した後、DMA にて粒径を選別した。その後、選別された Ag ナノ粒子を含む N_2 気体流を、PVP 水溶液 (平均分子量 40,000) に通過させた。こうして得た溶液中に、コロジオン膜付 Cu グリッドを浸した後、純水で洗浄後、室温にて乾燥させ FESEM 観察を行った。また、Ag ナノ粒子流を通じた溶液を Si 基板上に滴下させ、乾燥させた試料を用いて XPS スペクトルを測定した。さらに、Ag ナノ粒子流を通じた溶液の紫外可視吸光分析も行った。なお、本研究においては PVP の質量濃度は 1.25 gL^{-1} とした。また、PVP の平均分子量が 10,000, 630,000 および単量体である 1-ビニル-2-ピロリドン (分子量 111) の 3 種類についても同様の分析を行った。

3. 結果・考察

3-1. 液相捕獲された Ag コロイド FESEM 観察

図 1 に、10 nm に粒径選別したときの FESEM 像を示す。球状の粒径のそろった粒子が見てとれる。これらの粒径の平均粒径を求めたところ、8.0 nm であった。金属ナノ粒子によく見られる球状の形態をしていること、および粒径が DMA の選別粒径とおおよそ一致していることから、気相中で生成された Ag ナノ粒子が液相中に捕獲されたと考えられる。一方、6 nm に粒径選別したものについても、同様に球状で 6.2 nm 程度の粒径のそろった粒子が見られた。10 nm の粒子に比べてやや大きく観察された。一般的にナノ粒子の粒径が小さくな

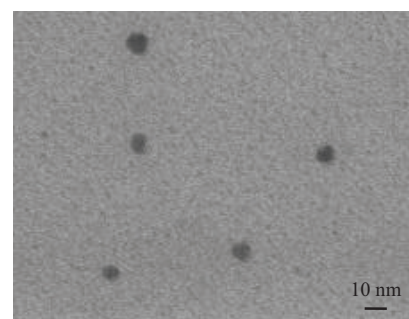


図 1. 粒径選別された Ag ナノ粒子
(10nm)を通過させた溶液の
FESEM 像

るにつれ比表面積が増大することから、PVP の被覆量が相対的に増大すると考えられる。その結果、10 nm の粒子に比べて 6 nm の粒子はやや大きく観察されたと考えられる。

3-2. 液相捕獲された Ag ナノ粒子の XPS による化学組成分析

図 2 に、粒径選別された Ag ナノ粒子 (10 nm)を通じた溶液の O 1s スペクトルを示す。530.8 eV にピークがあり、高エネルギー側の裾が膨らんだ分布が観測されている。このピークの結合エネルギーは、PVP 分子中の O 原子に由来するものとよく一致している。そこで、全体の分布を図中に示した細線のピークでガウスフィッティングを行ったところ、532.6 eV の結合エネルギーを示すピークが含まれていることがわかった。この結合エネルギーは、PVP 分子中の O 原子が Ag ナノ粒子に配位した際に現れるものとよく一致している。一方、Ag 3d スペクトルにおいては、367.9 eV の結合エネルギーをもつピークが観測された。これは、Ag ナノ粒子が PVP 分子によって保護された場合のものとよく一致している。これらの結果から、気相生成 Ag ナノ粒子は液相中にて PVP に保護された状態であると考えられる。また、これらのピーク面積から組成比を求めたところ、Ag 原子に対して PVP が 2 配位しているという結果が得られた。一般的に、Ag イオンは溶液中において PVP によって 2 配位の安定構造をとることが知られているが、本研究で得たナノ粒子も類似した配位構造をとっているのではないかと考えられる。

3-3. 気相生成 Ag ナノ粒子の液相捕獲における PVP 分子量依存性

図 3 に、PVP の分子量を変化させたときの吸光度 (420 nm) を示す。PVP の分子量が増大するにつれて、吸光度も増大する傾向が観測されている。粒径選別された Ag ナノ粒子を用いていることを考慮すると、吸光度の増大は粒子の数が増大したことを示している。本研究では、溶液中の PVP 質量濃度を一定としているため、構成単位数は分子量に関わらず全て等しい。すなわち、高分子鎖が長いほど、効率よく捕獲されていることを示している。この吸光度の増大は、高分子鎖の長さが影響していると考えられる。つまり、Ag ナノ粒子が PVP に保護される際、PVP 分子鎖のうち、どこか 1箇所が Ag ナノ粒子に配位すると、それを引き金として高分子鎖が Ag ナノ粒子に巻きつくように保護するために、高分子鎖が長いほど効率よく捕獲されたと考えられる。

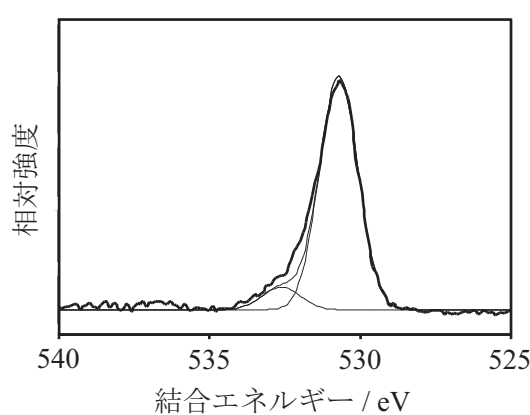


図 2. 粒径選別された Ag ナノ粒子 (10 nm) の XPS スペクトル

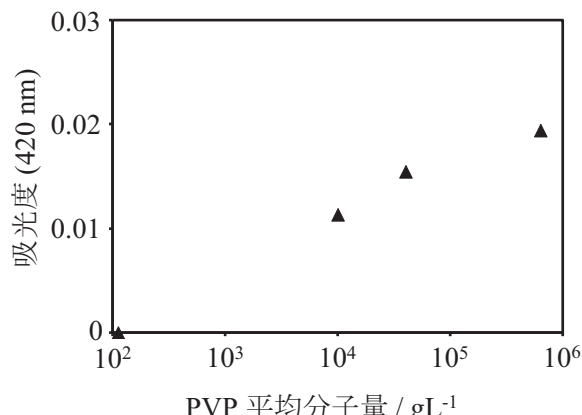


図 3. 粒径選別された Ag ナノ粒子 (10nm) を通過させた溶液の吸光度 (420 nm) の PVP 分子量依存性